



ВНИИА
РОСАТОМ

Моделирование осесимметричных течений контактным методом SPH с коррективкой градиента сглаживающего ядра

ФГУП ВНИИА

Рублев Г.Д., Паршиков А.Н., Дьячков С.А.

19 мая 2025

Исходные дифференциальные уравнения в осесимметричном случае

$$\frac{d\varepsilon}{dt} = -\frac{1}{\rho} \frac{d\rho}{dt} = \frac{1}{r} \frac{\partial}{\partial r} (rU^r) + \frac{\partial U^z}{\partial z} = \nabla \cdot \mathbf{U} + \frac{U^r}{r}, \quad (1)$$

$$\frac{d\mathbf{U}}{dt} = -\frac{1}{\rho} \left(\frac{\partial P}{\partial r} \mathbf{e}^r + \frac{\partial P}{\partial z} \mathbf{e}^z \right) = -\frac{1}{\rho} \nabla P, \quad (2)$$

$$\frac{de}{dt} = -\frac{P}{\rho} \left(\frac{1}{r} \frac{\partial}{\partial r} (rU^r) + \frac{\partial U^z}{\partial z} \right) = -\frac{P}{\rho} \nabla \cdot \mathbf{U} - \frac{PU^r}{\rho r}, \quad (3)$$

где

$$\nabla \cdot \mathbf{U} = \frac{\partial U^r}{\partial r} + \frac{\partial U^z}{\partial z},$$

P – давление, \mathbf{e}^α – единичные орты цилиндрической системы координат rz , $\nabla = (\partial/\partial r, \partial/\partial z)^T$, $\mathbf{U} = (U^r, U^z)^T$ – скорость вещества, ρ – плотность вещества, e – удельная внутренняя энергия.

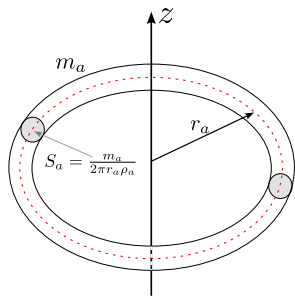
Рассматривая скалярную функцию F , заданную в полуплоскости rz ($r > 0$) можно записать аппроксимацию через сглаживающее ядро W :

$$F(\mathbf{r}) = \int ds' F(\mathbf{r}') W(|\mathbf{r}' - \mathbf{r}|/h; h) + O(h), \quad (4)$$

где $ds = dr \cdot dz$ – элемент площади, $\mathbf{r} = (r, z)^T$.

Пусть m_a – масса тороидального элемента вещества (SPH-частицы) радиусом r_a с площадью поперечного сечения $S_a = \frac{m_a}{2\pi r_a \rho_a}$. SPH-оценки для дифференциальных операторов:

$$\begin{aligned} \langle \nabla F \rangle_a &= \sum_b F_b \frac{m_b}{2\pi r_b \rho_b} \nabla_a W_{ab}; \\ \langle \nabla \cdot \mathbf{F} \rangle_a &= \sum_b \frac{m_b}{2\pi r_b \rho_b} \mathbf{F}_b \cdot \nabla_a W_{ab}. \end{aligned} \quad (5)$$



Пусть $f(r; A)$ – некоторая гладкая функция радиальной координаты, зависящая от A как от параметра. Для аппроксимации градиента давления рассмотрим следующее тождество:

$$\begin{aligned} \nabla P &= \frac{\nabla(f(r; A)P) - P\nabla f(r; A)}{f(r; A)} = \\ &= \frac{\nabla(f(r; A)P) + P\nabla f(r; A)}{f(r; A)} - 2P \frac{f'(r; A)}{f(r; A)} \mathbf{e}^r. \end{aligned} \quad (6)$$

Для аппроксимации дивергенции скорости рассмотрим следующее тождество:

$$\nabla \cdot \mathbf{U} = \frac{\nabla \cdot (f(r; A)\mathbf{U}) - \mathbf{U} \cdot \nabla f(r; A)}{f(r; A)}. \quad (7)$$

$$\frac{d\varepsilon_a}{dt} = \sum_b \frac{m_b}{2\pi\rho_b r_b} \frac{f(r_b; A)}{f(r_a; A)} (\mathbf{U}_b - \mathbf{U}_a) \cdot \nabla_a W_{ab} + \frac{U_a^r}{r_a}. \quad (8)$$

$$\frac{d\mathbf{U}_a}{dt} = - \sum_b \frac{m_b}{2\pi\rho_b\rho_a r_b} \frac{f(r_b; A)}{f(r_a; A)} (P_a + P_b) \nabla_a W_{ab} + 2 \frac{P_a f'(r_a; A)}{\rho_a f(r_a; A)} \mathbf{e}^r. \quad (9)$$

$$\begin{aligned} \frac{dE_a}{dt} &= \frac{de_a}{dt} + \mathbf{U}_a \cdot \frac{d\mathbf{U}_a}{dt} = \\ &= - \sum_b \frac{m_b}{2\pi\rho_b\rho_a r_b} \frac{f(r_b; A)}{f(r_a; A)} \frac{P_a + P_b}{2} (\mathbf{U}_b + \mathbf{U}_a) \cdot \nabla_a W_{ab} + \\ &\quad \left(\frac{2f'(r_a; A)}{f(r_a; A)} - \frac{1}{r_a} \right) \frac{P_a U_a^r}{\rho_a}. \quad (10) \end{aligned}$$

Далее будем полагать параметр A в уравнениях (9), (8), (10) равным r_a . Как видно из уравнения (9), чтобы полный импульс сохранялся нужно потребовать, чтобы выполнялось

Условие 1.

$$\frac{f(r_b; r_a)}{r_b f(r_a; r_a)} = \frac{f(r_a; r_b)}{r_a f(r_b; r_b)}, \quad \forall r_a, r_b.$$

Из уравнения (10) следует, что для консервативности уравнения полной энергии необходимо потребовать, чтобы выполнялось

Условие 2.

$$2 \frac{f'(r_a; r_a)}{f(r_a; r_a)} = \frac{1}{r_a}.$$

Не ограничивая общности, будем считать, что $f(r_a; r_a) = 1$ при любом r_a . Функцию $f(r; r_a)$ будем искать в виде

$$f(r; r_a) = \frac{1}{r_a} g(r, r_a), \quad (11)$$

где $g(r, r_a) = g(r_a, r)$, $g(r_a, r_a) = r_a$, $g'(r_a, r_a) = 1/2$.

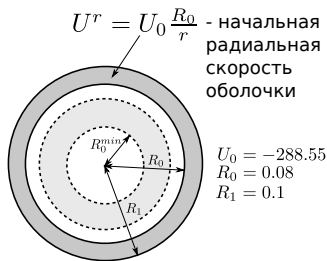
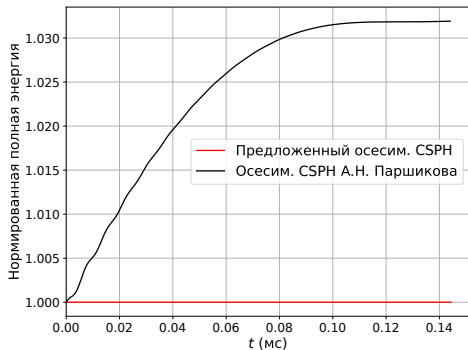
После подстановки контактных значений:

$$\frac{d\varepsilon_a}{dt} = - \sum_b \frac{m_b}{2\pi\rho_b r_b h_{ab}} f(r_b; r_a) 2(U_{ab}^{R*} - U_a^R) W'_{ab} + \frac{U_a^r}{r_a}. \quad (12)$$

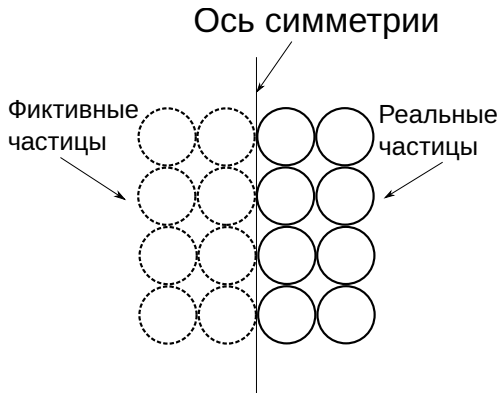
$$\frac{d\mathbf{U}_a}{dt} = - \sum_b \frac{m_b}{2\pi\rho_b\rho_a r_b} f(r_b; r_a) 2P_{ab}^* \nabla_a W_{ab} + \frac{P_a}{\rho_a r_a} \mathbf{e}^r. \quad (13)$$

$$\frac{dE_a}{dt} = \sum_b \frac{m_b}{2\pi\rho_b\rho_a r_b h_{ab}} f(r_b; r_a) 2P_{ab}^* U_{ab}^{R*} W'_{ab}, \quad (14)$$

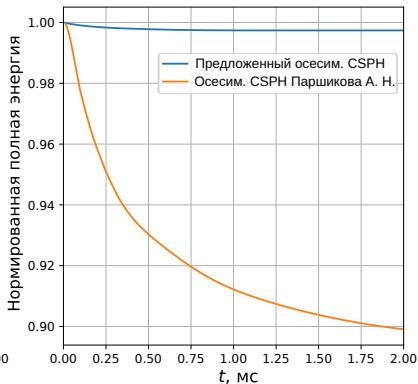
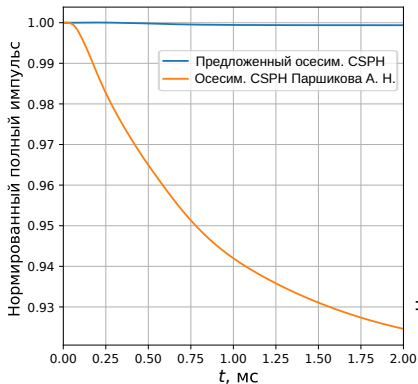
$g(r, r_a)$	Схема	Название
$\sqrt{r r_a}$	$\frac{d\varepsilon_a}{dt} = - \sum_b \frac{m_b}{2\pi\rho_b h_{ab}} \frac{2}{\sqrt{r_a r_b}} (U_{ab}^{R*} - U_a^R) W'_{ab} + \frac{U_a^r}{r_a}$ $\frac{d\mathbf{U}_a}{dt} = - \sum_b \frac{m_b}{2\pi\rho_b\rho_a} \frac{2}{\sqrt{r_a r_b}} P_{ab}^* \nabla_a W_{ab} + \frac{P_a}{\rho_a r_a} \mathbf{e}^r$ $\frac{dE_a}{dt} = \sum_b \frac{m_b}{2\pi\rho_b\rho_a h_{ab}} \frac{2}{\sqrt{r_a r_b}} P_{ab}^* U_{ab}^{R*} W'_{ab}$	“Среднее геометр.”
$\frac{2r_a r}{r+r_a}$	$\frac{d\varepsilon_a}{dt} = - \sum_b \frac{m_b}{2\pi\rho_b h_{ab}} \frac{4}{r_a+r_b} (U_{ab}^{R*} - U_a^R) W'_{ab} + \frac{U_a^r}{r_a}$ $\frac{d\mathbf{U}_a}{dt} = - \sum_b \frac{m_b}{2\pi\rho_b\rho_a} \frac{4}{r_a+r_b} P_{ab}^* \nabla_a W_{ab} + \frac{P_a}{\rho_a r_a} \mathbf{e}^r$ $\frac{dE_a}{dt} = \sum_b \frac{m_b}{2\pi\rho_b\rho_a h_{ab}} \frac{4}{r_a+r_b} P_{ab}^* U_{ab}^{R*} W'_{ab}$	“Среднее арифм.”
$\frac{r_a+r}{2}$	$\frac{d\varepsilon_a}{dt} = - \sum_b \frac{m_b}{2\pi\rho_b h_{ab}} \frac{(r_a+r_b)}{r_a r_b} (U_{ab}^{R*} - U_a^R) W'_{ab} + \frac{U_a^r}{r_a}$ $\frac{d\mathbf{U}_a}{dt} = - \sum_b \frac{m_b}{2\pi\rho_b\rho_a} \frac{(r_a+r_b)}{r_a r_b} P_{ab}^* \nabla_a W_{ab} + \frac{P_a}{\rho_a r_a} \mathbf{e}^r$ $\frac{dE_a}{dt} = \sum_b \frac{m_b}{2\pi\rho_b\rho_a h_{ab}} \frac{(r_a+r_b)}{r_a r_b} P_{ab}^* U_{ab}^{R*} W'_{ab}$	“Среднее гармон.”



Изменение полной энергии в цилиндрической задаче Верни при использовании предлагаемой осесимметричной схемы CSPH “среднее гармоническое” и схемы осесимметричного метода CSPH А.Н. Паршикова [Parshikov и др. 2000].



Около оси осуществляется локальный переход на схему осесимметричного метода CSPH А.Н. Паршикова [Parshikov и др. [2000](#)] с отражением частиц за ось симметрии.



Изменение полного импульса и полной энергии в задаче о столкновении двух капель жидкого олова при использовании предлагаемой осесимметричной схемы CSPH “среднее гармоническое” и схемы осесимметричного метода CSPH А.Н. Паршикова [Parshikov и др. 2000].

Корректировка (ТКС)

Подробнее см. [Rublev и др. 2024].

$$\frac{d\varepsilon_a}{dt} = - \sum_b \frac{m_b}{2\pi\rho_b} \frac{r_a + r_b}{r_a r_b} (\bar{U}_{ab}^{*R} - \bar{U}_a^R) \frac{W'_{ab}}{h_{ab}} + \frac{U_a^r}{r_a}, \quad (15)$$

$$\frac{d\mathbf{U}_a}{dt} = - \sum_b \frac{m_b}{2\pi\rho_b\rho_a} \frac{r_a + r_b}{r_a r_b} \tilde{P}_{ab}^* \mathbf{L}_{ab}^{-1} \cdot \nabla_a W_{ab} + \frac{P_a}{\rho_a r_a} \mathbf{e}^r. \quad (16)$$

$$\frac{dE_a}{dt} = \sum_b \frac{m_b}{2\pi\rho_a\rho_b} \frac{r_a + r_b}{r_a r_b} \tilde{P}_{ab}^* \tilde{U}_{ab}^{*R} W'_{ab}. \quad (17)$$

где $\bar{U}_a^R = \mathbf{U}_a \cdot (\mathbf{L}_a^{-1} \cdot \mathbf{e}_{ba}^R)$, $\tilde{U}_a^R = \mathbf{U}_a \cdot (\mathbf{L}_{ab}^{-1} \cdot \mathbf{e}_{ba}^R)$,

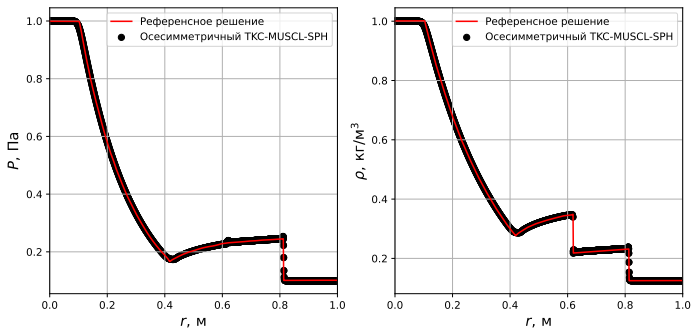
$\mathbf{L}_{ab}^{-1} = \frac{1}{2}(\mathbf{L}_a^{-1} + \mathbf{L}_b^{-1})$. \bar{U}_{ab}^{*R} , \tilde{P}_{ab}^* и \tilde{U}_{ab}^{*R} вычисляются по формулам

$$\bar{U}_{ab}^{*R} = \frac{\bar{U}_l^R Z_l + \bar{U}_r^R Z_r + (P_l - P_r)}{Z_l + Z_r},$$

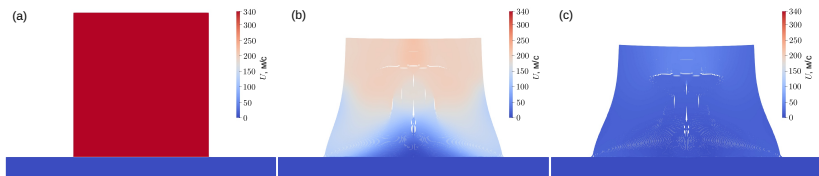
$$\tilde{U}_{ab}^{*R} = \frac{\tilde{U}_l^R Z_l + \tilde{U}_r^R Z_r - P_r + P_l}{Z_l + Z_r},$$

$$\tilde{P}_{ab}^* = \frac{P_r Z_l + P_l Z_r - Z_l Z_r (\tilde{U}_r^R - \tilde{U}_l^R)}{Z_l + Z_r}.$$

Распад разрыва в идеальном газе



Цилиндрический тест Сода

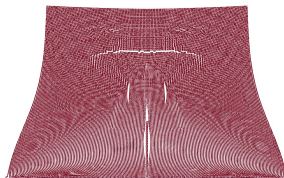


Моделирование удара стального цилиндра по твёрдой стенке. Начальная длина цилиндра $L_0 = 0.81$ см, диаметр равен $D_0 = 0.762$ см. Скорость удара равна 343 м/с. Раскраска выполнена по скорости. (a) Момент соударения, (b) 5 мкс (c) 11 мкс.

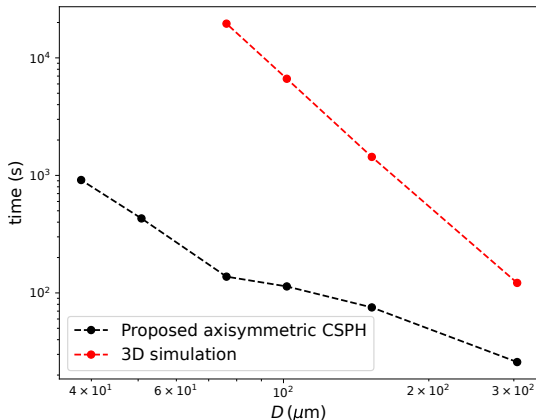
3D MUSCL-SPH



Осесимметричный MUSCL-SPH

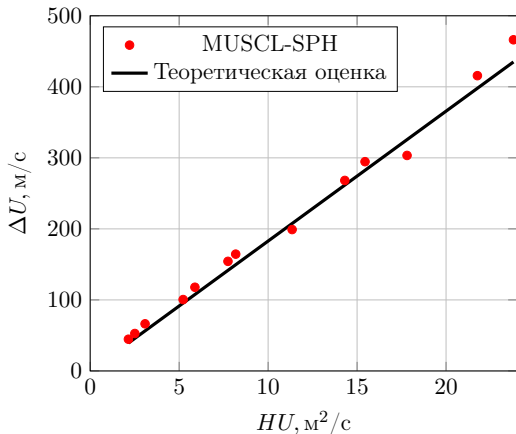


Сравнение результатов моделирования удара стального цилиндра по твёрдой стенке трёхмерным методом MUSCL-SPH в декартовых координатах и предлагаемым осесимметричным методом MUSCL-SPH. Начальная длина цилиндра $L_0 = 0.81$ см, диаметр равен $D_0 = 0.762$ см. Скорость удара равна 343 м/с. Показан момент времени $t = 11$ мкс.



Сравнение времени моделирования удара стального цилиндра по твёрдой стенке методом MUSCL-SPH при разных размерах частиц в двумерном осесимметричном случае и в трёхмерном декартовом случае на 16 вычислительных ядрах.

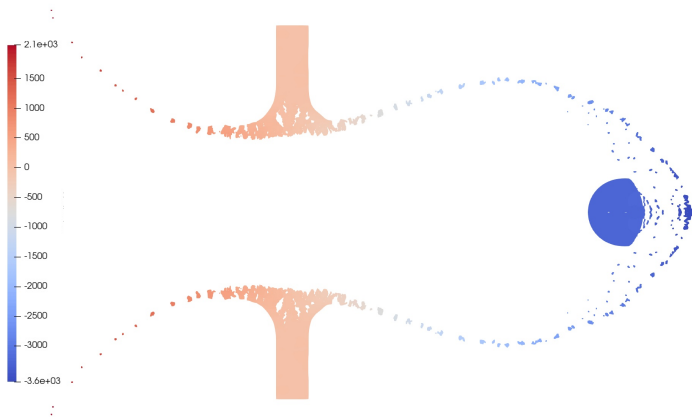
Пробитие тонких преград



$$\Delta U \cong \frac{\rho S}{2m} HU, \quad (18)$$

Пробитие тонких преград. Изменение скорости шарика при столкновении с тонкой преградой. Сплошная черная линия соответствует теоретической формуле (18), маркеры – результатам расчётов.

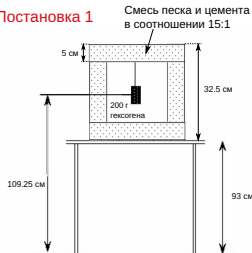
Пробитие тонких преград



Пробитие тонкой преграды РММА стальным шариком. Моделирование производилось осесимметричным методом MUSCL-SPH. $H = 3.28$ мм, $U = 3460$ м/с. На рисунке представлен момент времени 11.7 мкс.

Постановка задачи

Постановка 1



Датчики давления

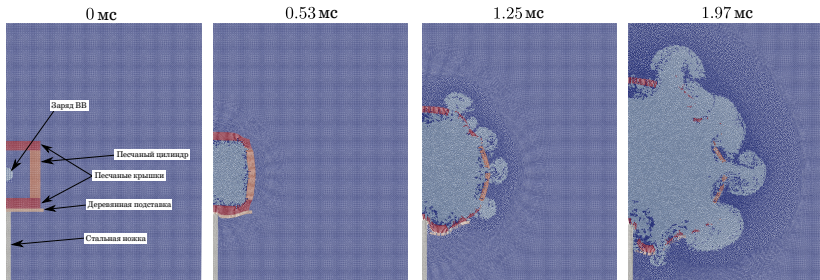


Постановка 2

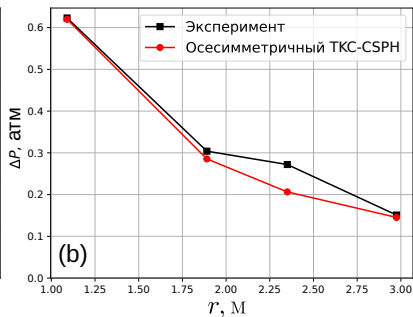
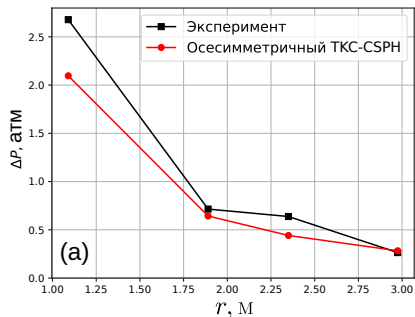


Датчики давления

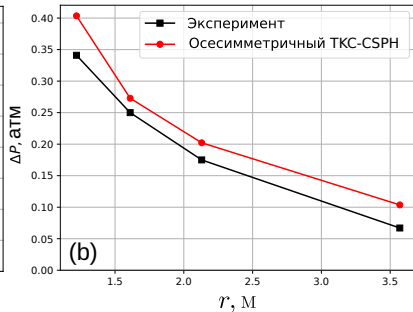
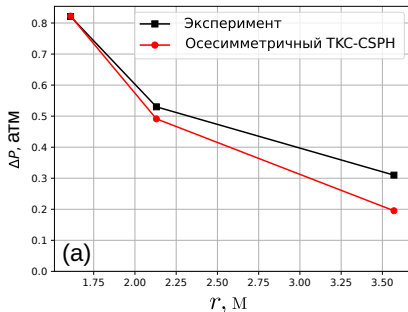




Взрыв внутри песчаного цилиндра в первой постановке: динамика разрушения песчаной преграды. На рисунках показано распределение материалов в разные моменты времени.



Максимальный прирост давления в датчиках по отношению к атмосферному давлению в первом эксперименте: (а) взрыв в воздухе, (б) взрыв в защитном песчаном цилиндре.



Максимальный прирост давления в датчиках по отношению к атмосферному давлению во втором эксперименте: (а) взрыв в воздухе, (б) взрыв в защитном песчаном цилиндре.

Список литературы

- [1] Anatoly N. Parshikov и др. “Improvements in SPH method by means of interparticle contact algorithm and analysis of perforation tests at moderate projectile velocities”. В: *International Journal of Impact Engineering* 24 (2000), с. 779—796. DOI: [10.1016/S0734-743X\(99\)00168-2](https://doi.org/10.1016/S0734-743X(99)00168-2).
- [2] G. D. Rublev, A. N. Parshikov и S. A. Dyachkov. “Improving approximation accuracy in Godunov-type smoothed particle hydrodynamics methods”. АНГЛ. В: *Applied Mathematics and Computation* 488 (2024). DOI: [10.1016/j.amc.2024.129128](https://doi.org/10.1016/j.amc.2024.129128).

Спасибо за внимание

Рублев Г.Д., Паршиков А.Н., Дьячков С.А.

E-mail: rublev_gd_97@vk.com

19 мая 2025